

1/26

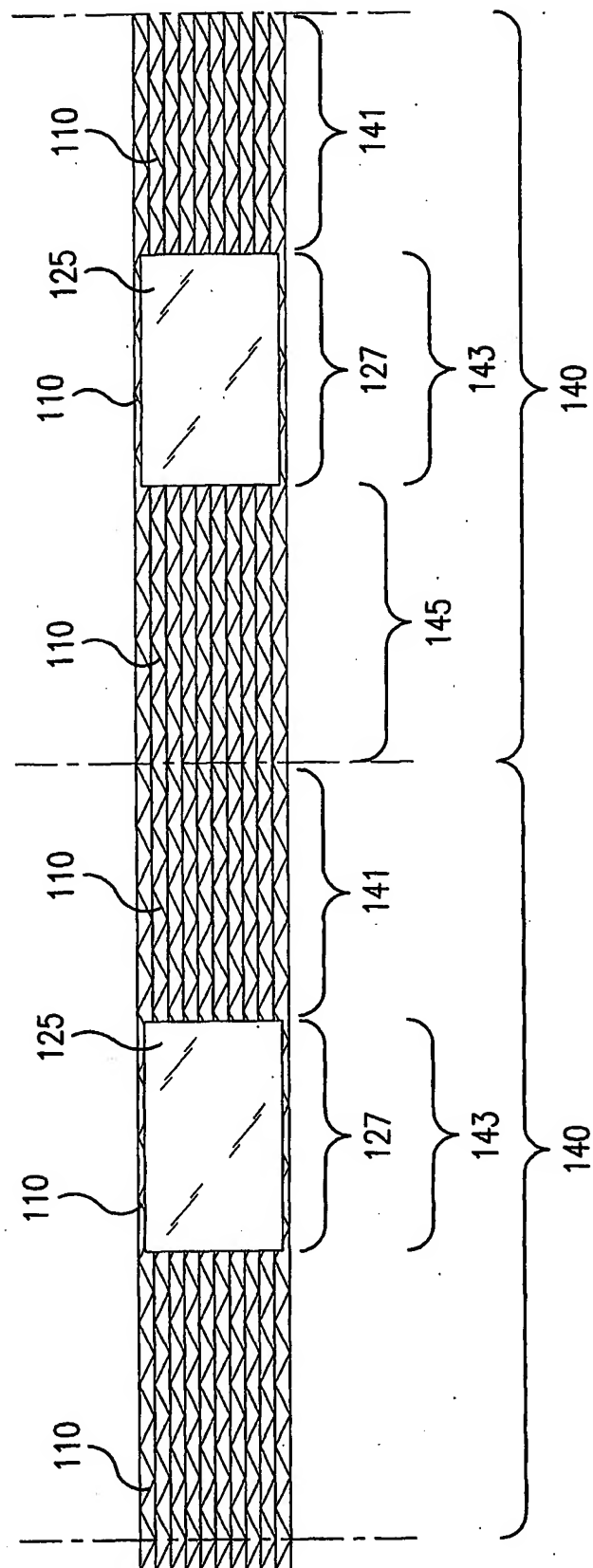


FIG. 1

2/26

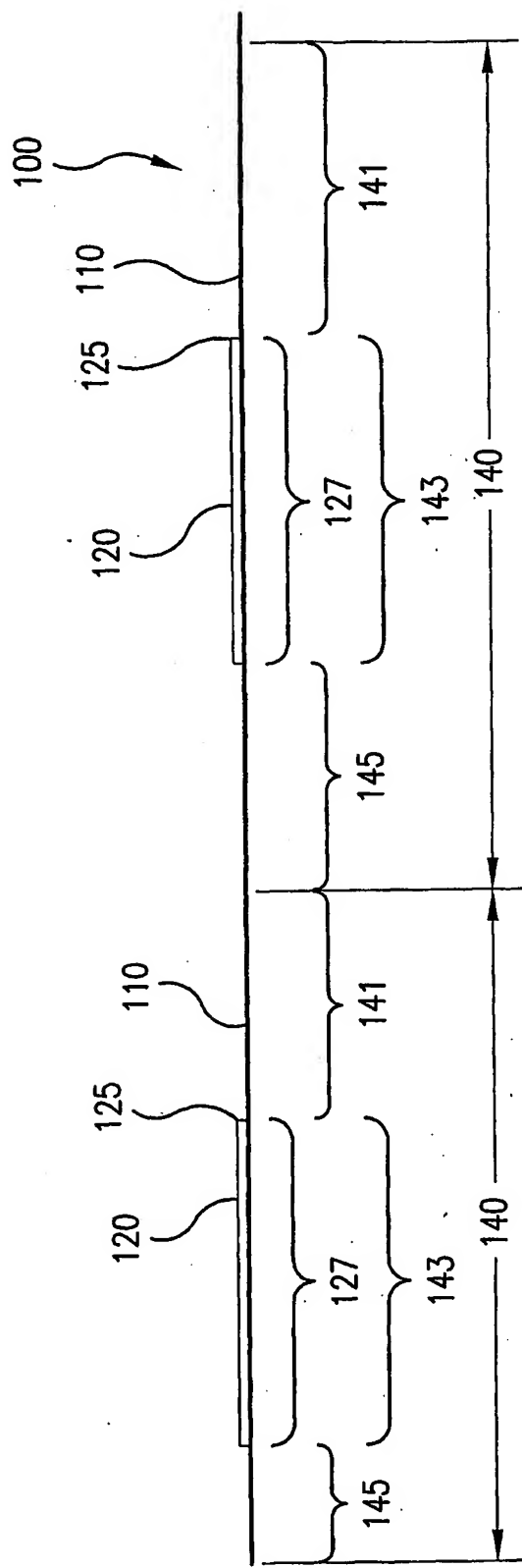


FIG. 2

3/26

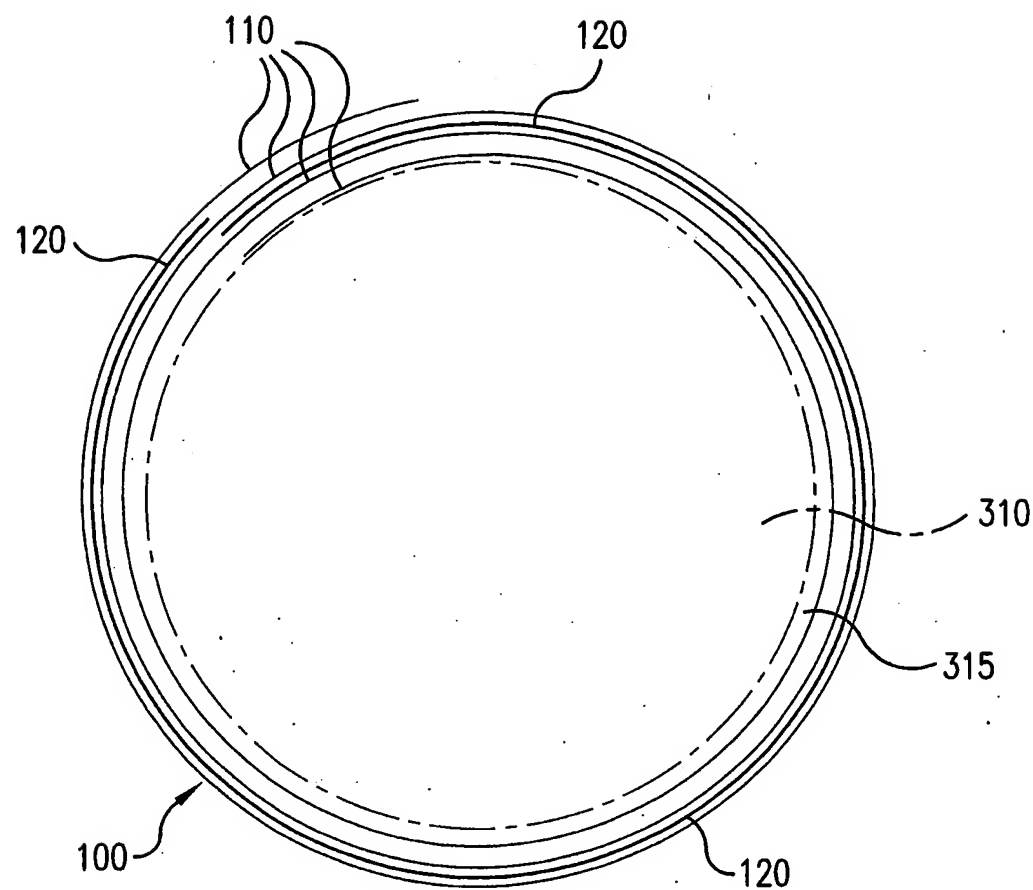


FIG. 3a

4/26

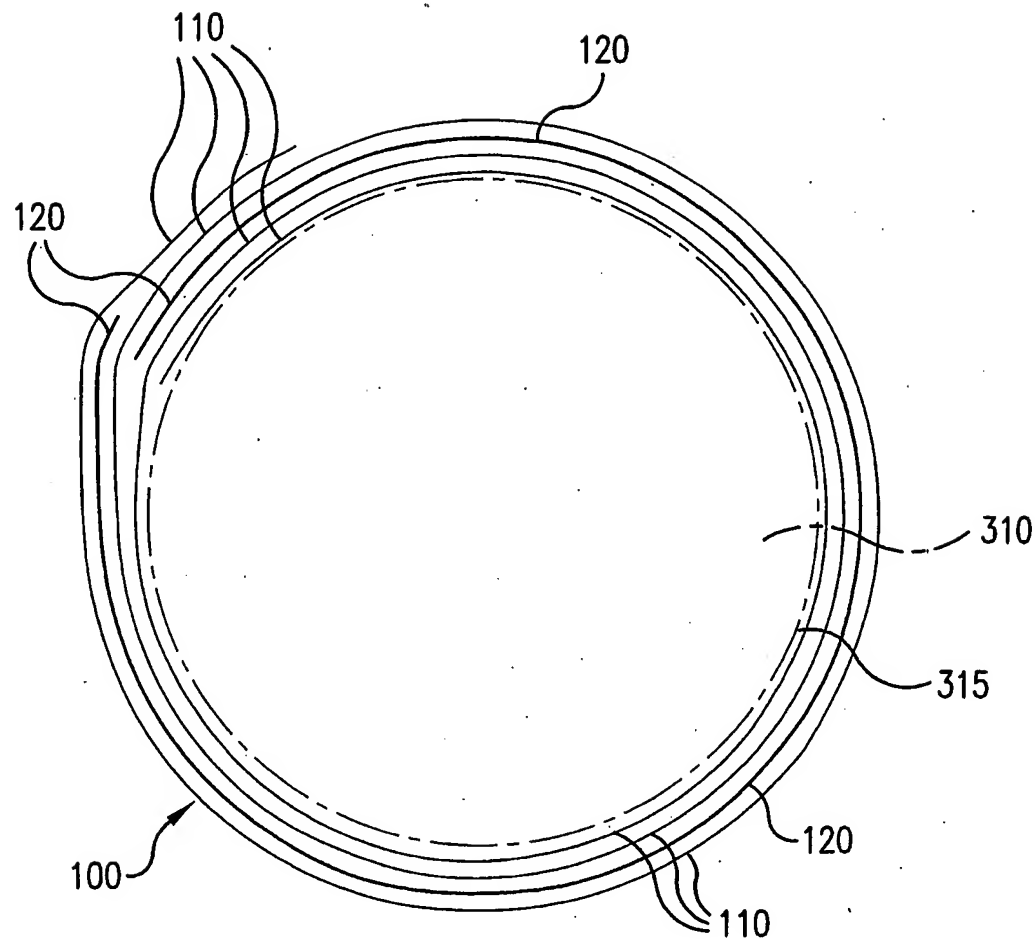


FIG. 3b

5/26

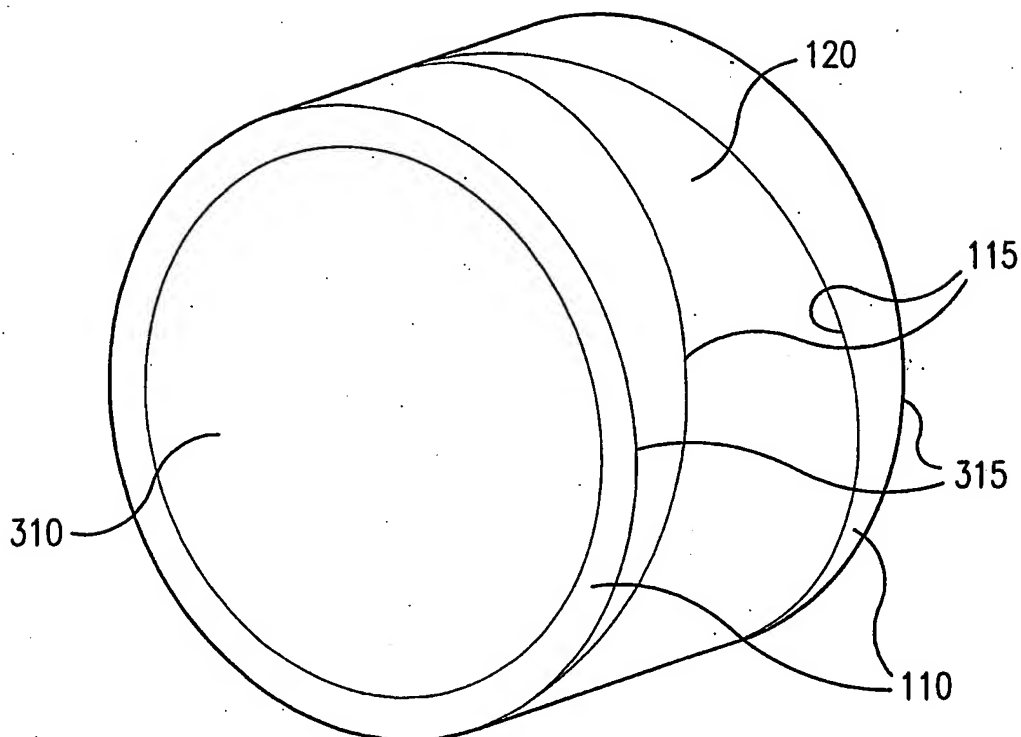


FIG.4

6/26

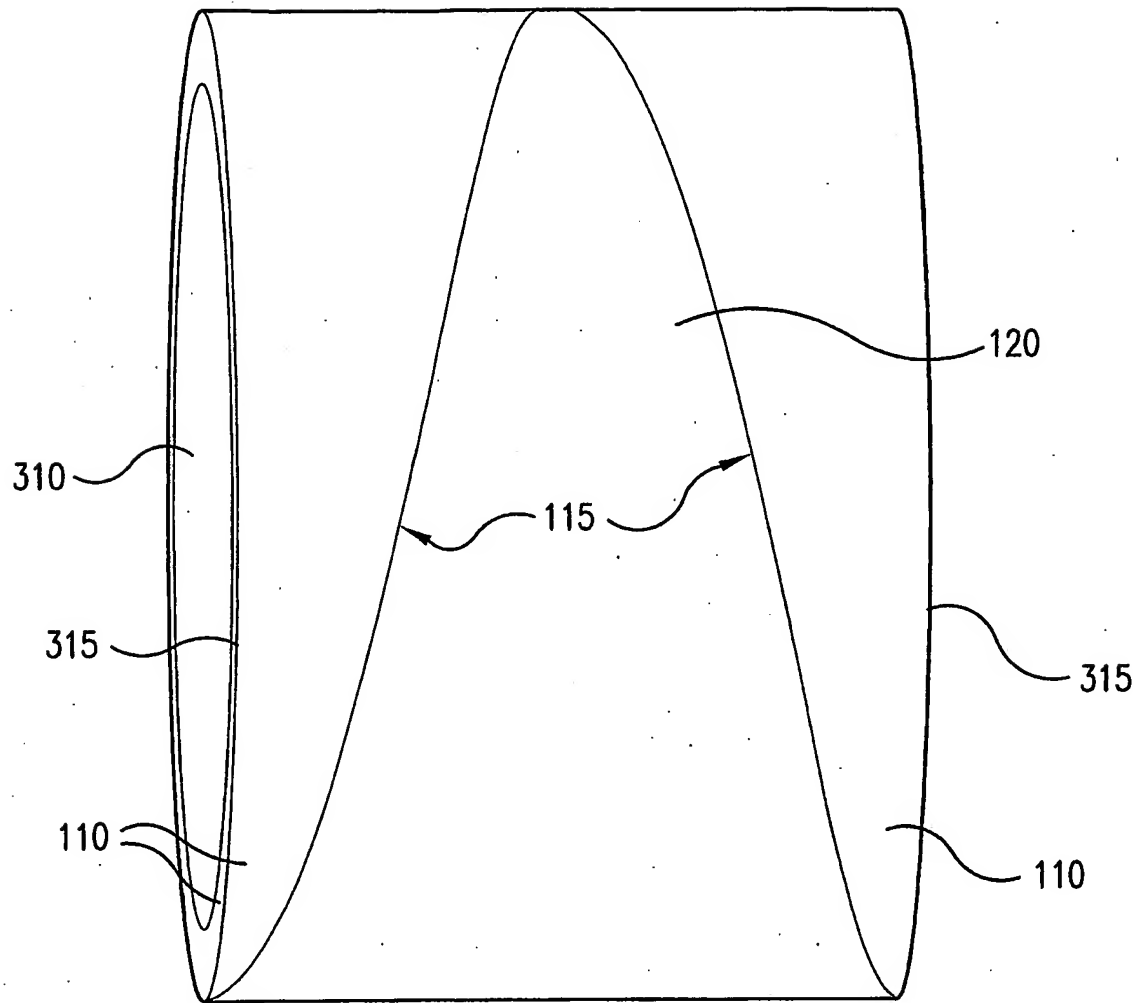


FIG. 5a

7/26

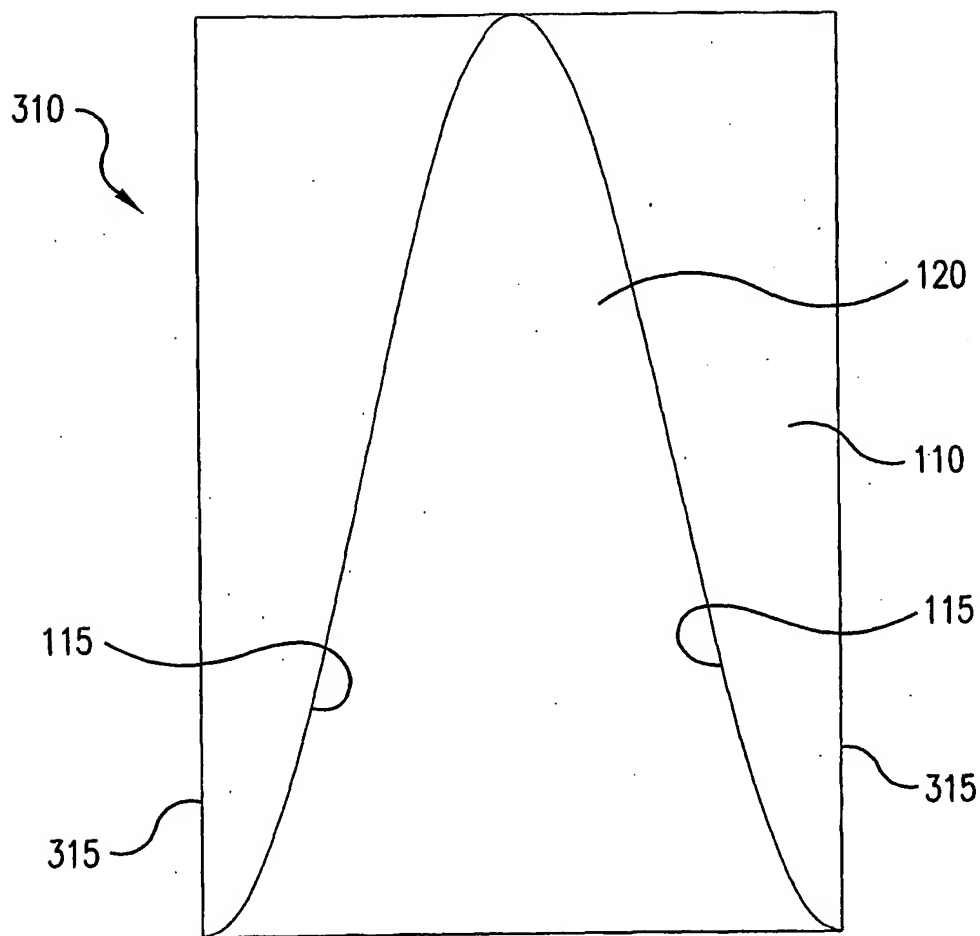


FIG. 5b

8/26

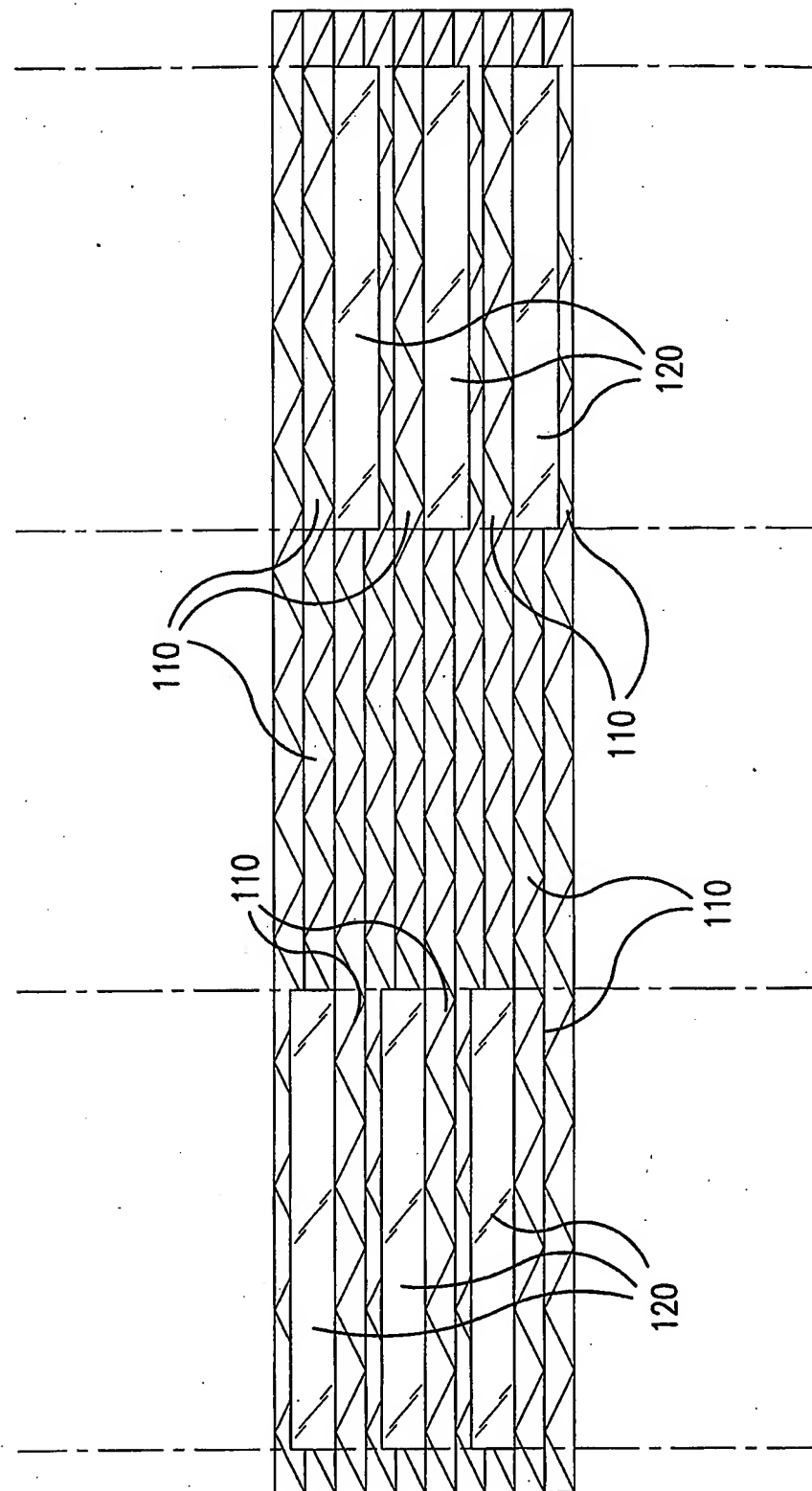


FIG. 6

9/26

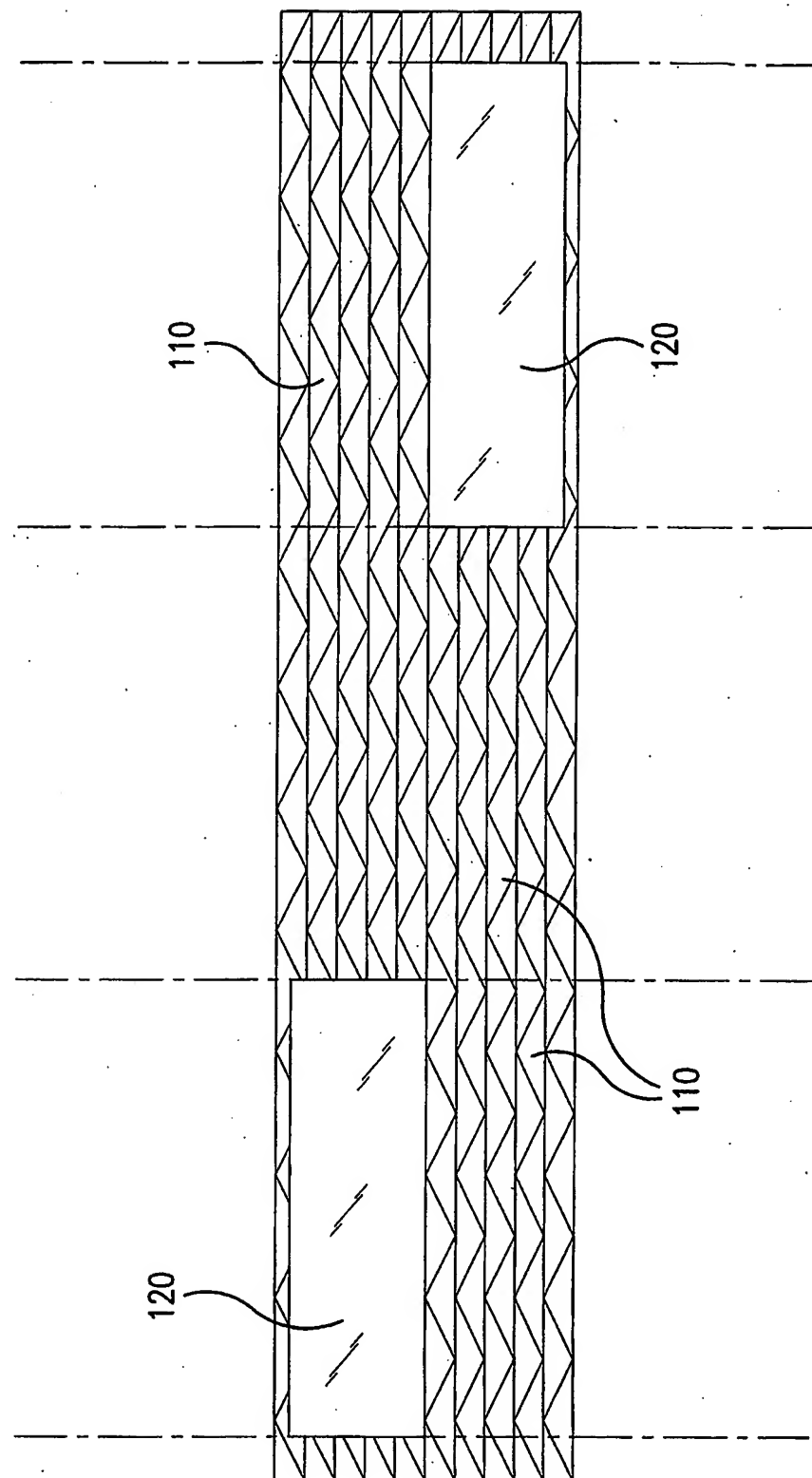


FIG.7a

10/26

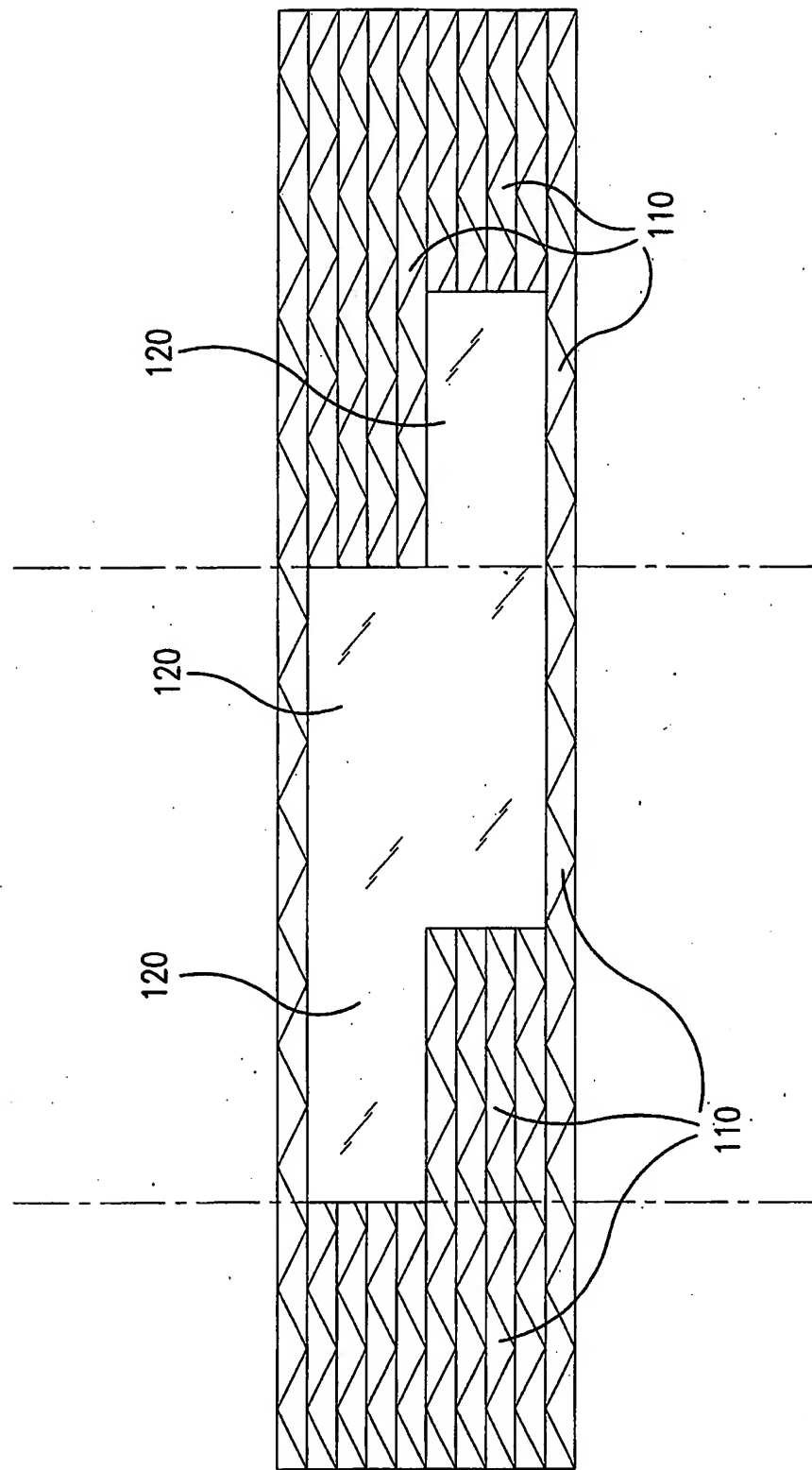


FIG. 7b

11/26

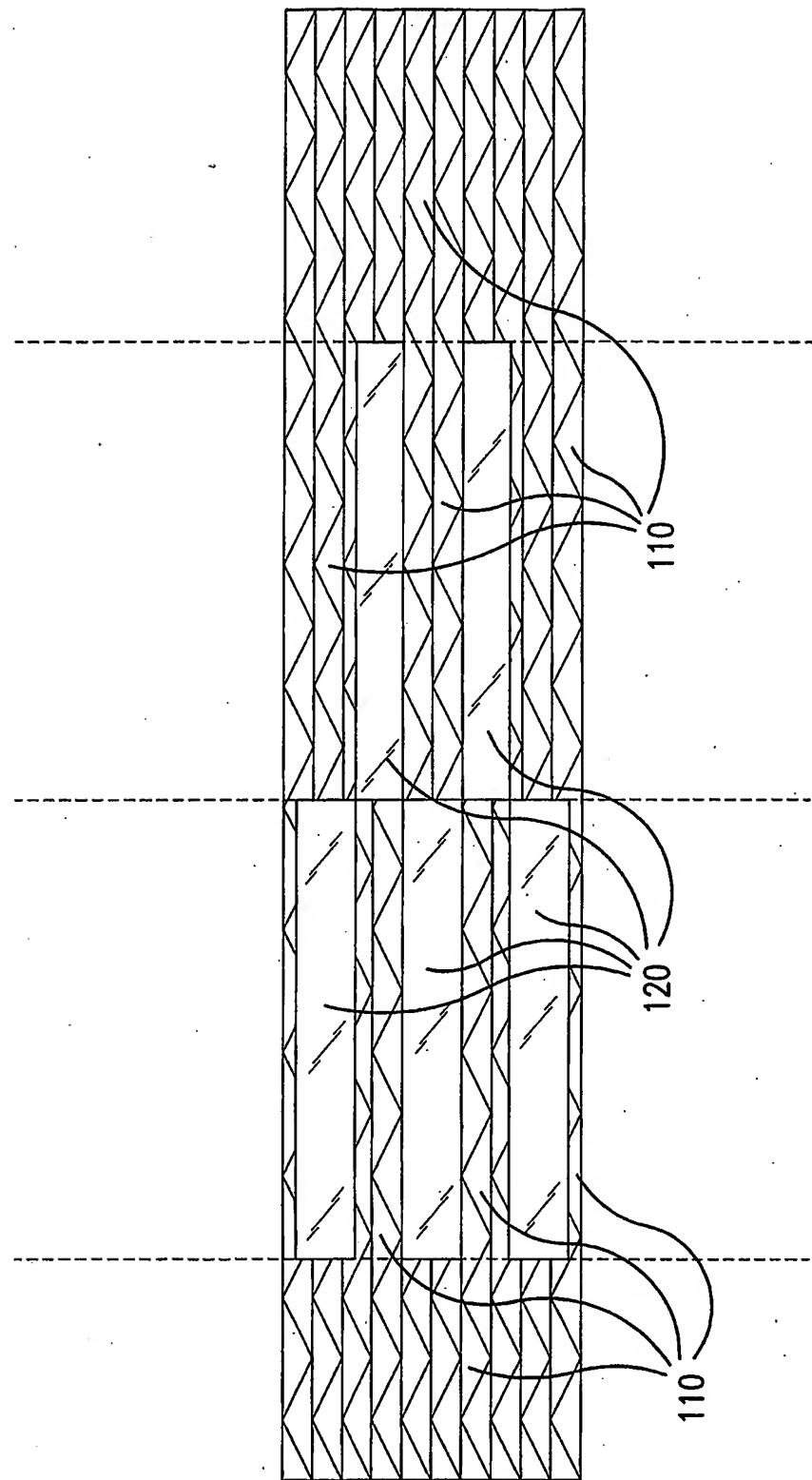


FIG. 8

12/26

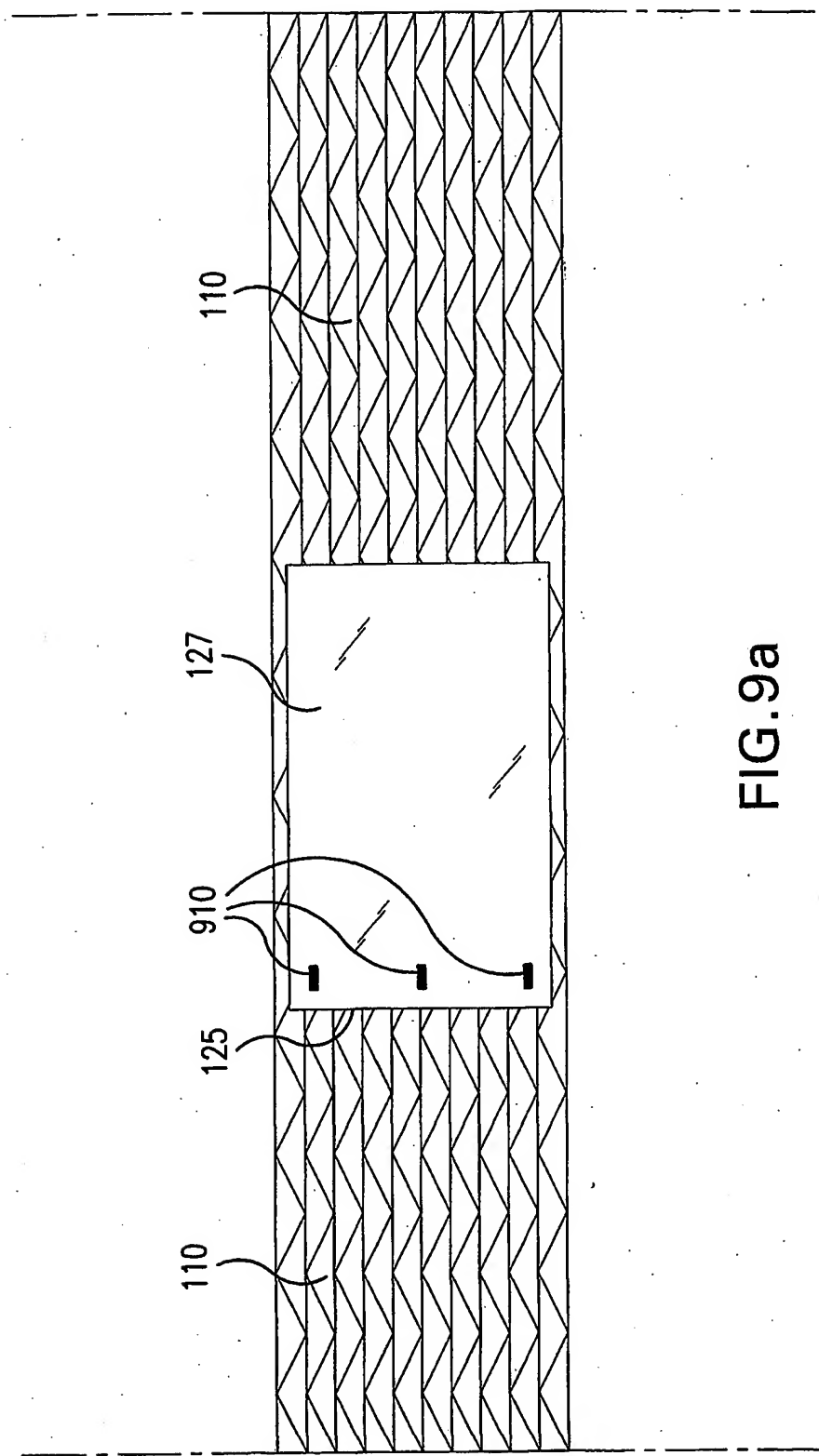


FIG. 9a

13/26

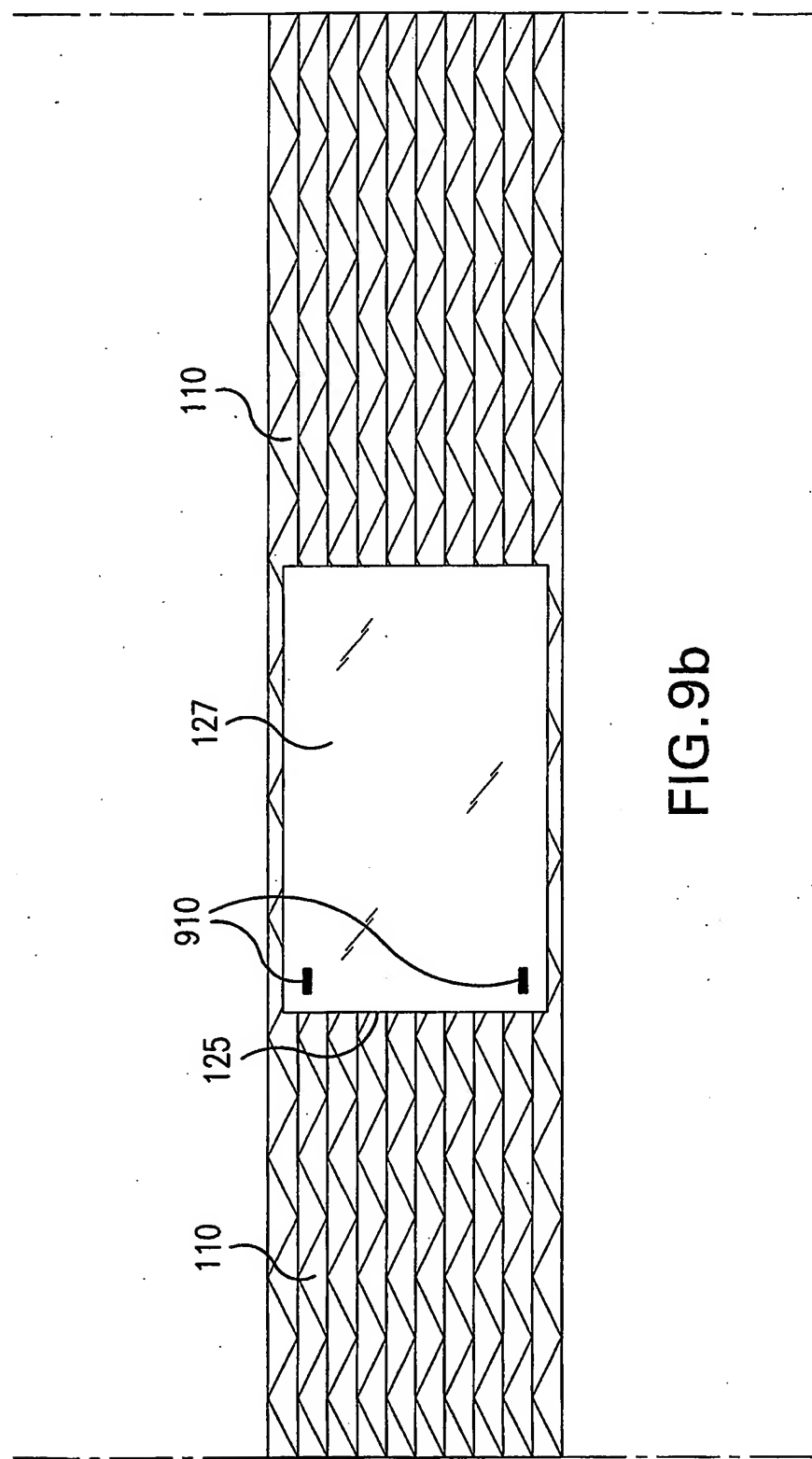


FIG. 9b

14/26

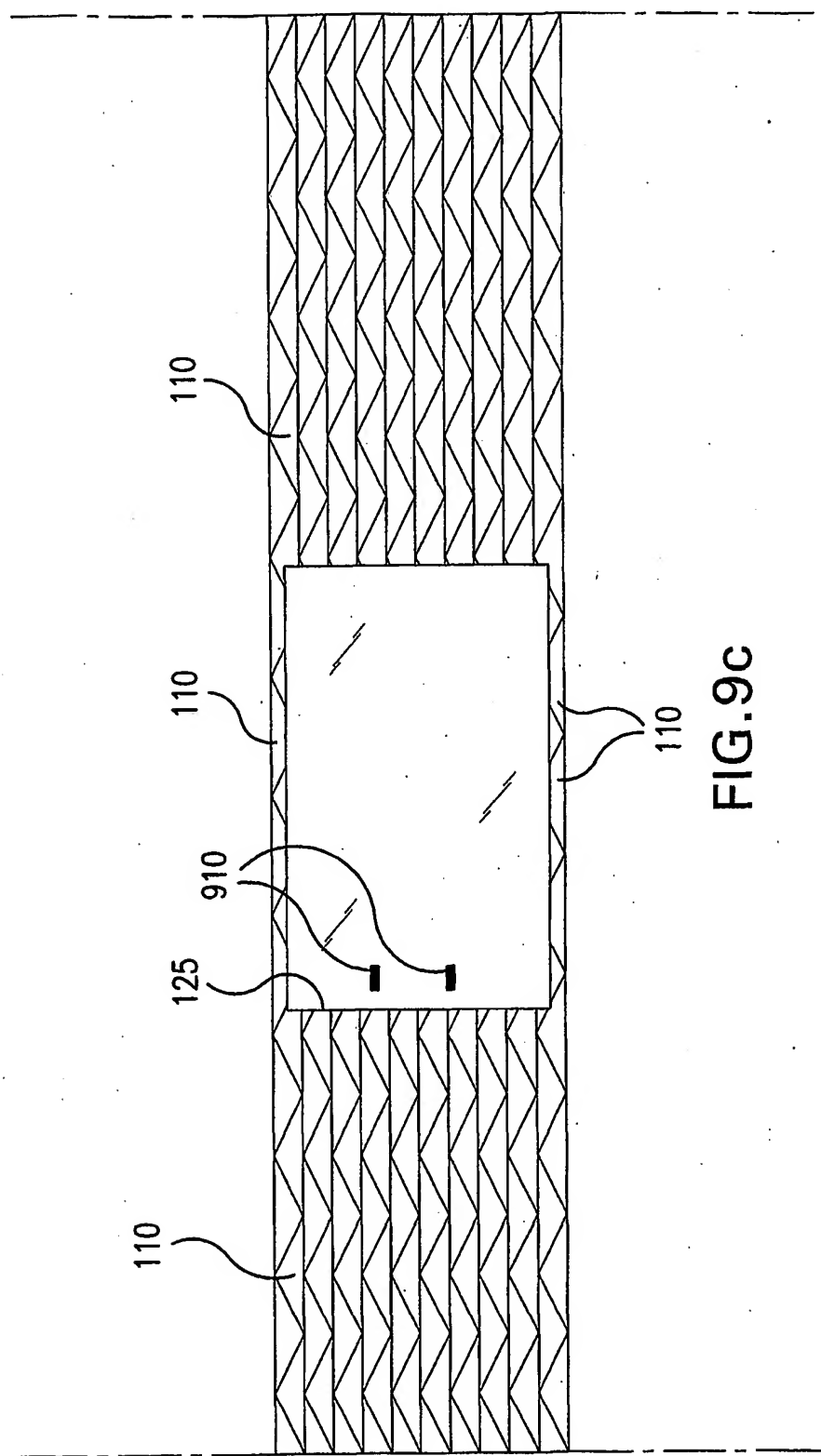


FIG. 9c

15/26

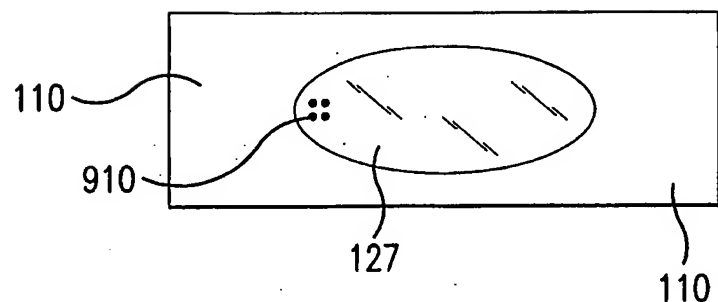


FIG.9d

16/26

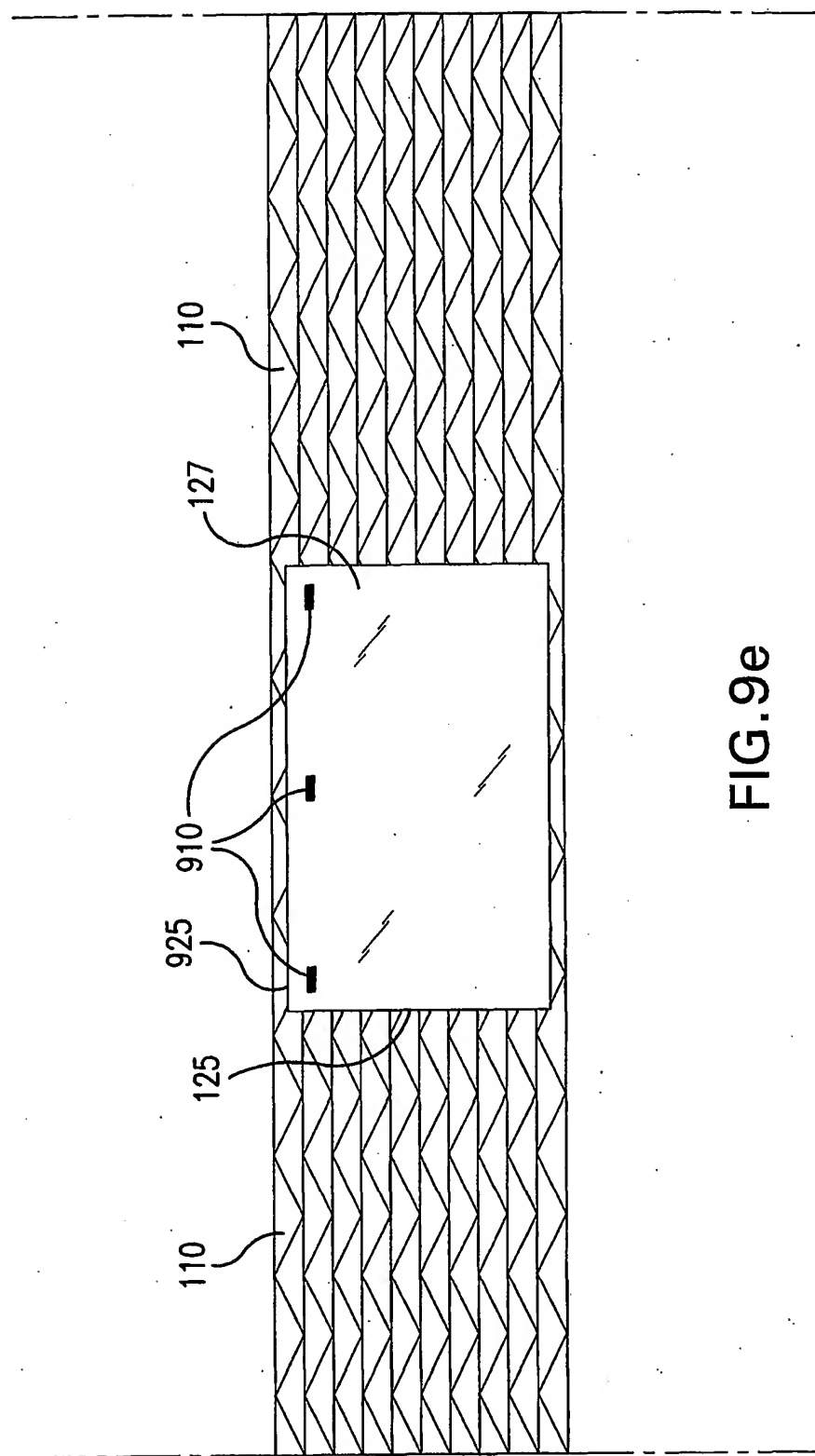


FIG. 9e

17/26

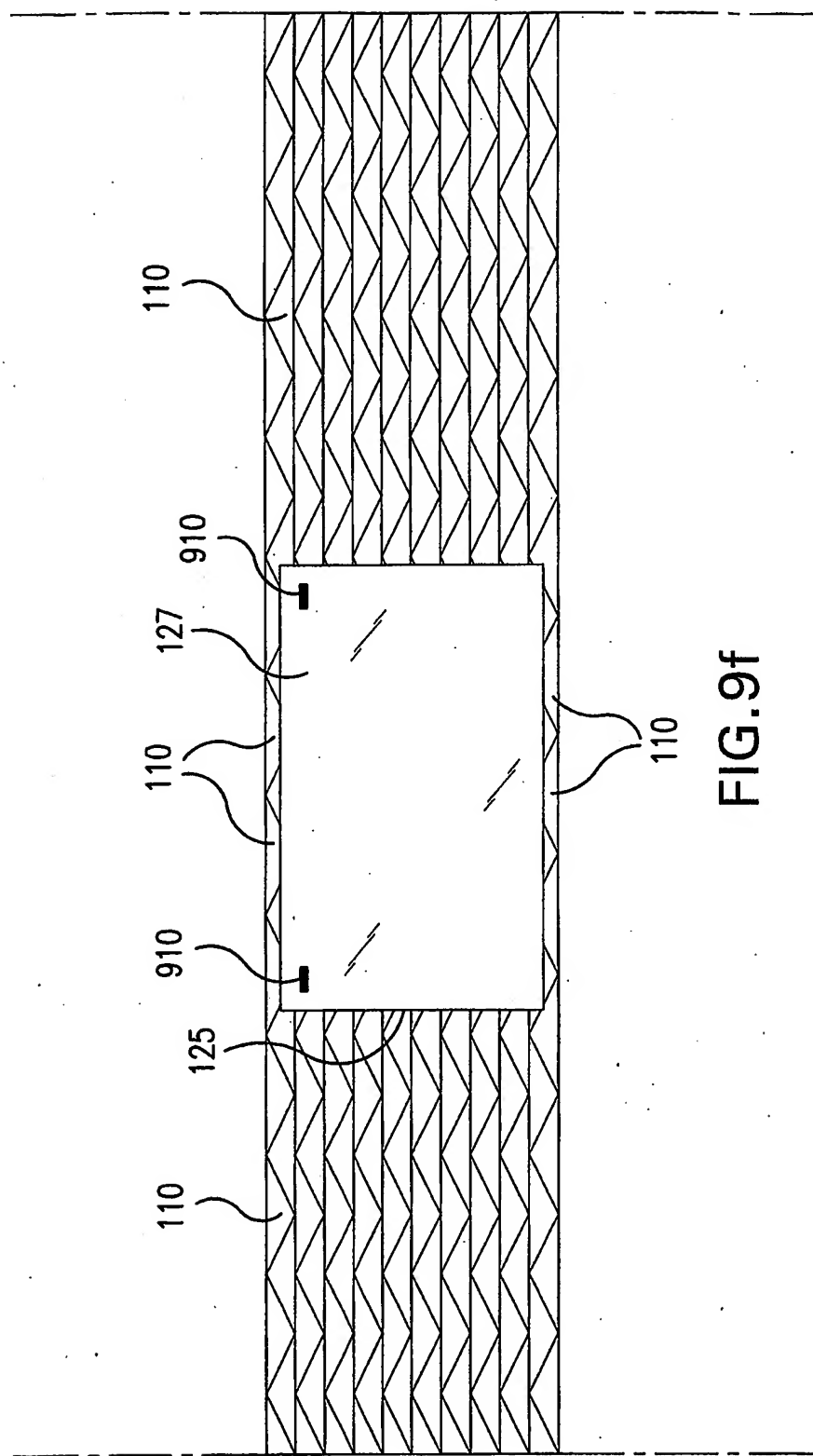


FIG. 9f

18/26

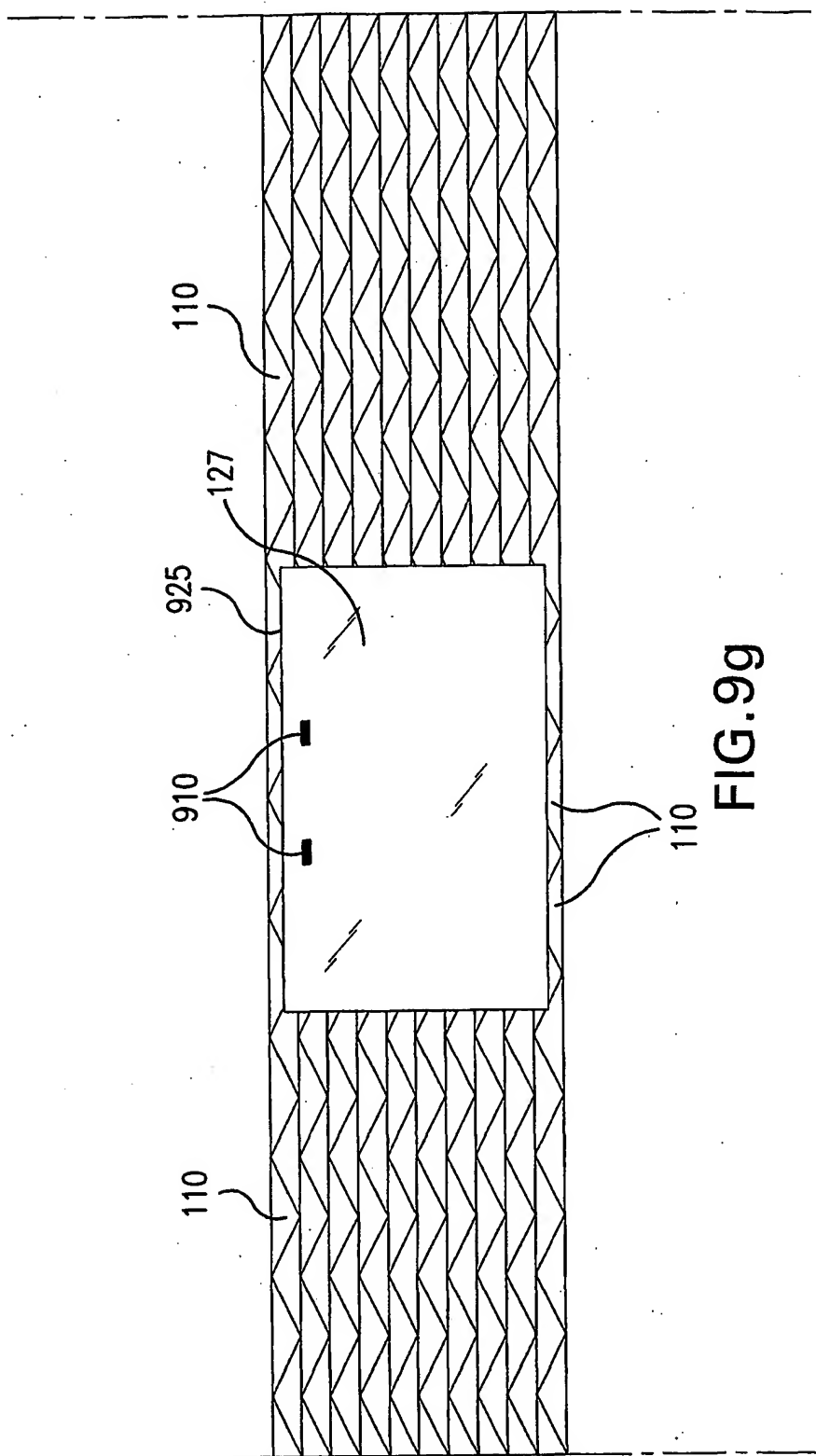


FIG. 9g

19/26

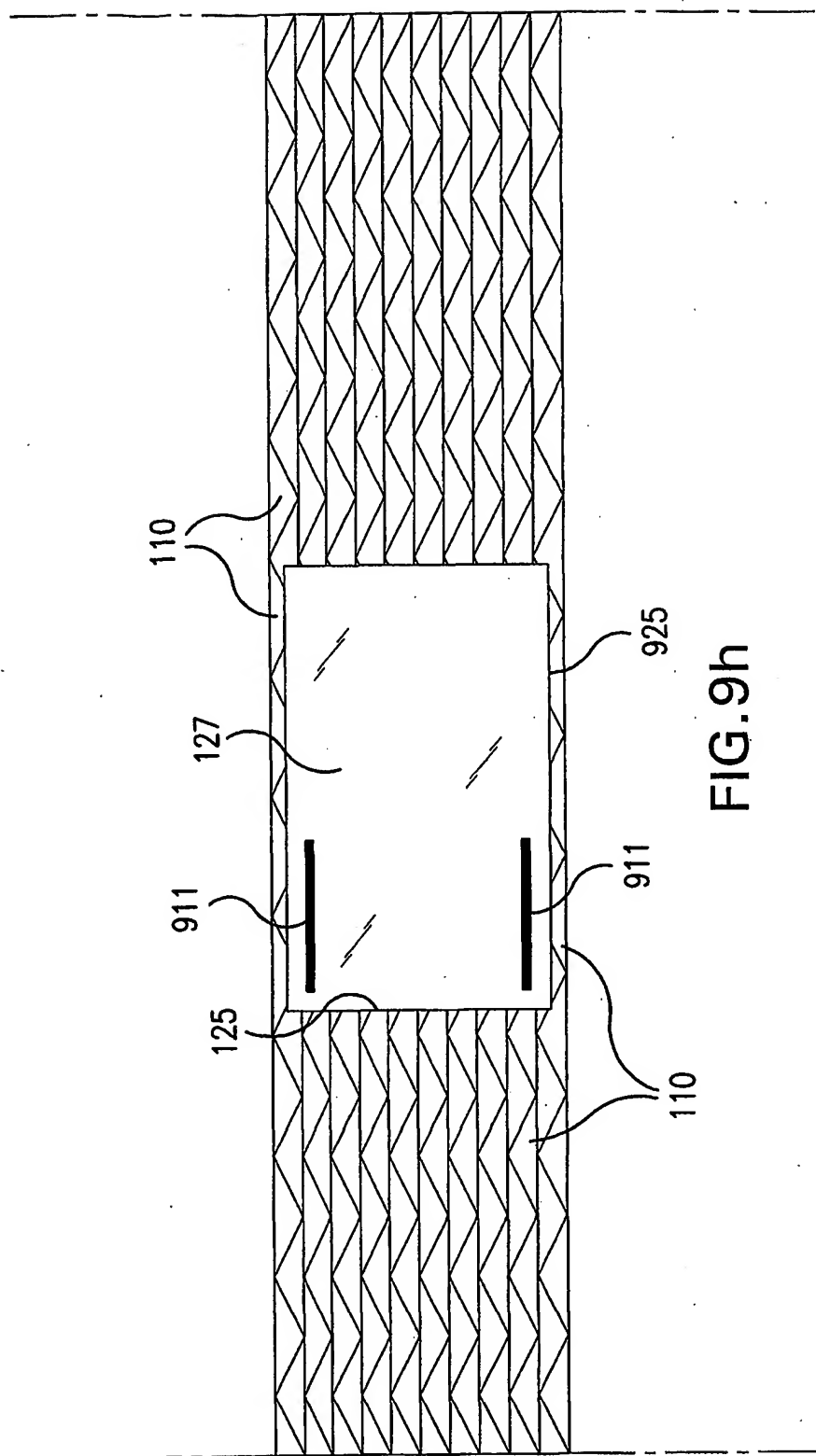


FIG. 9h

20/26

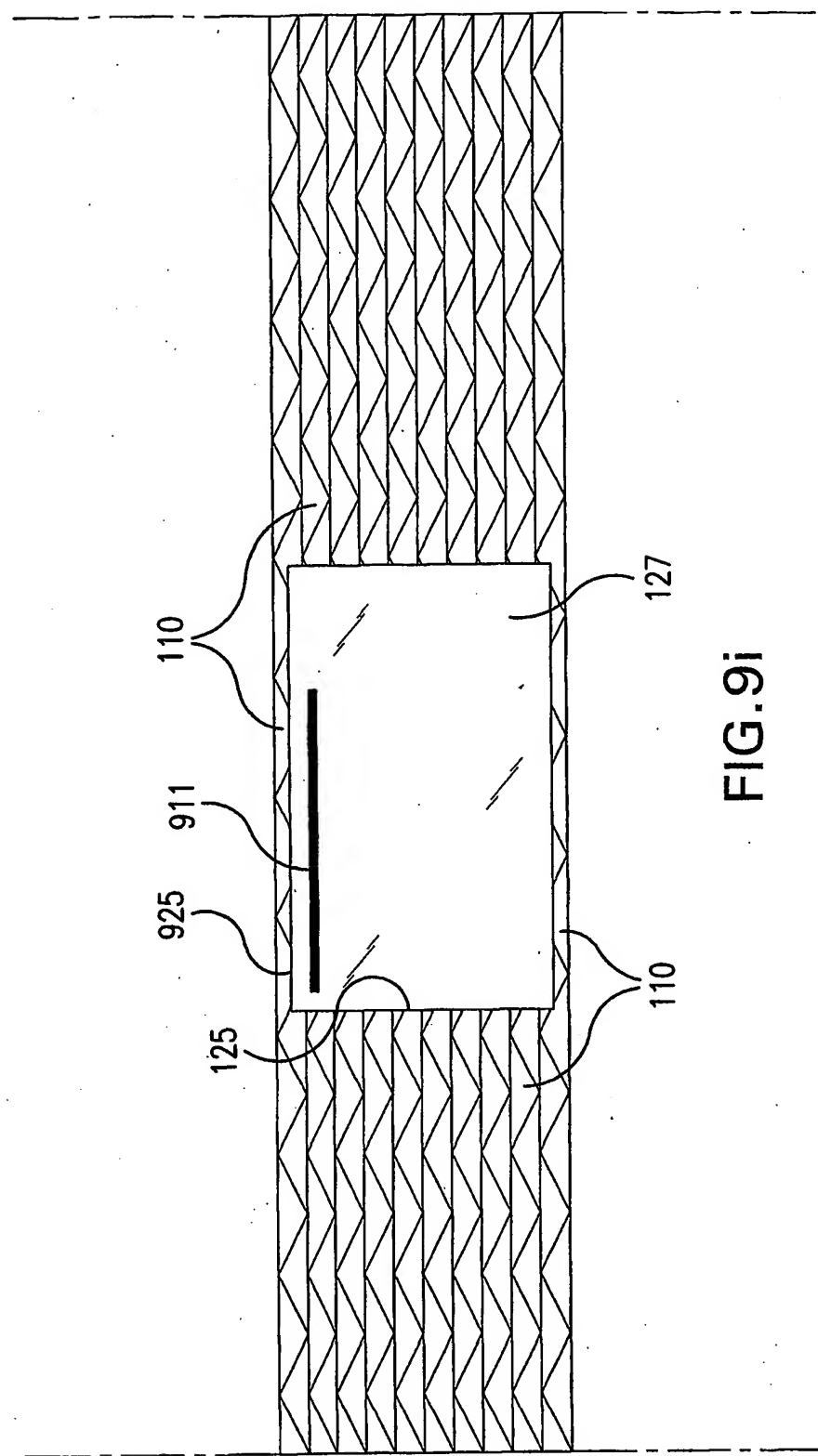


FIG. 9i

21/26

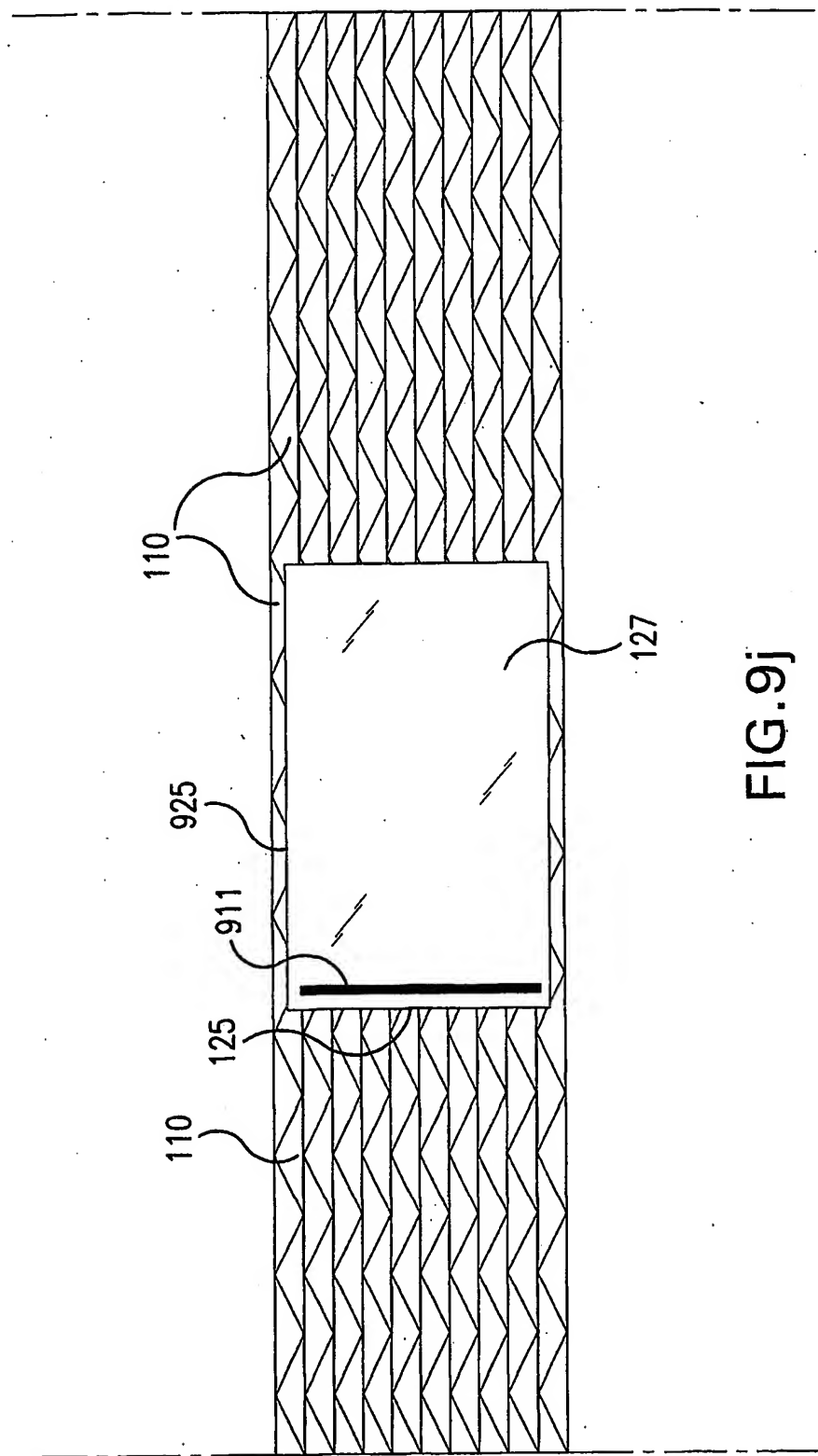


FIG. 9j

22/26

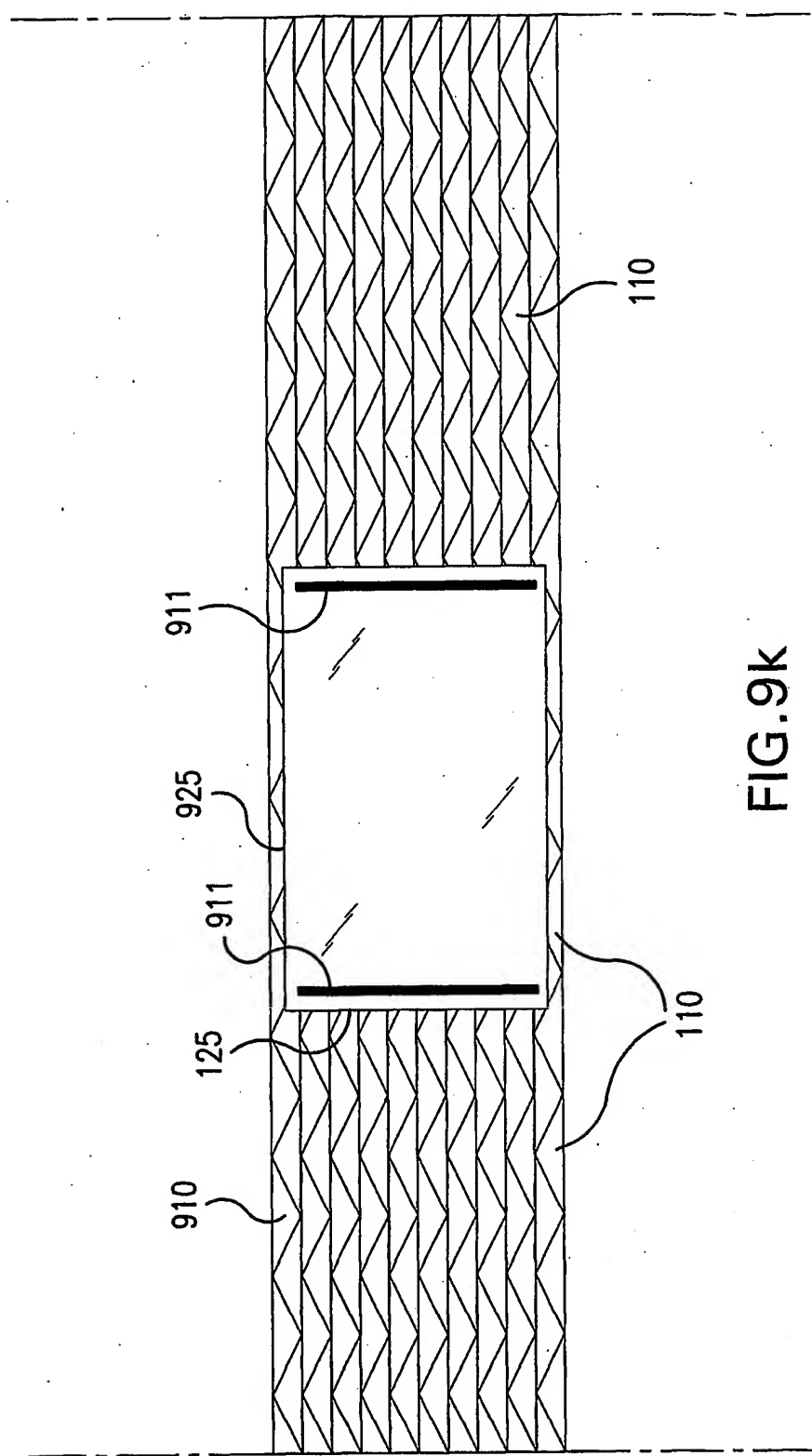


FIG. 9k

23/26

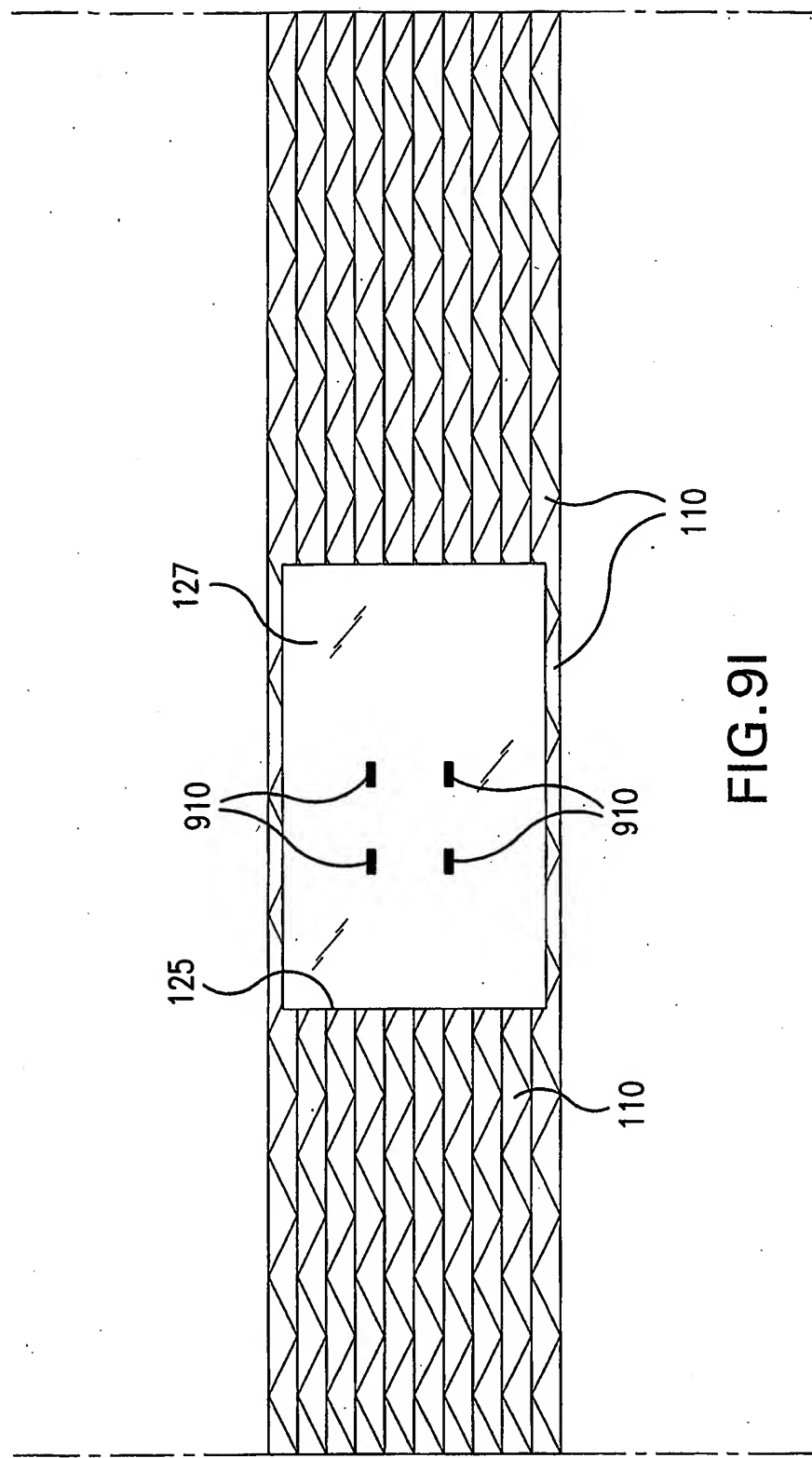


FIG. 9I

24/26

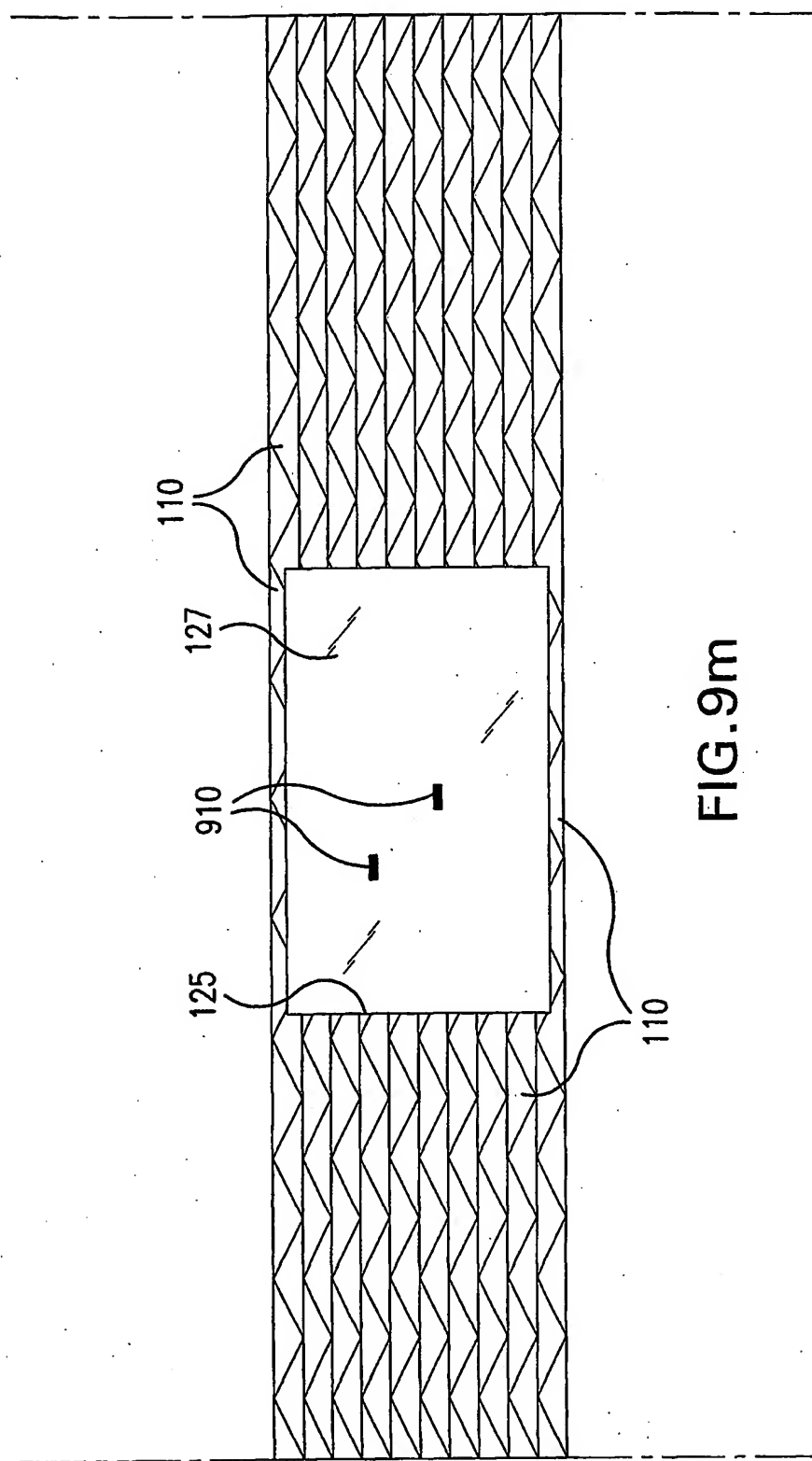


FIG. 9m

25/26

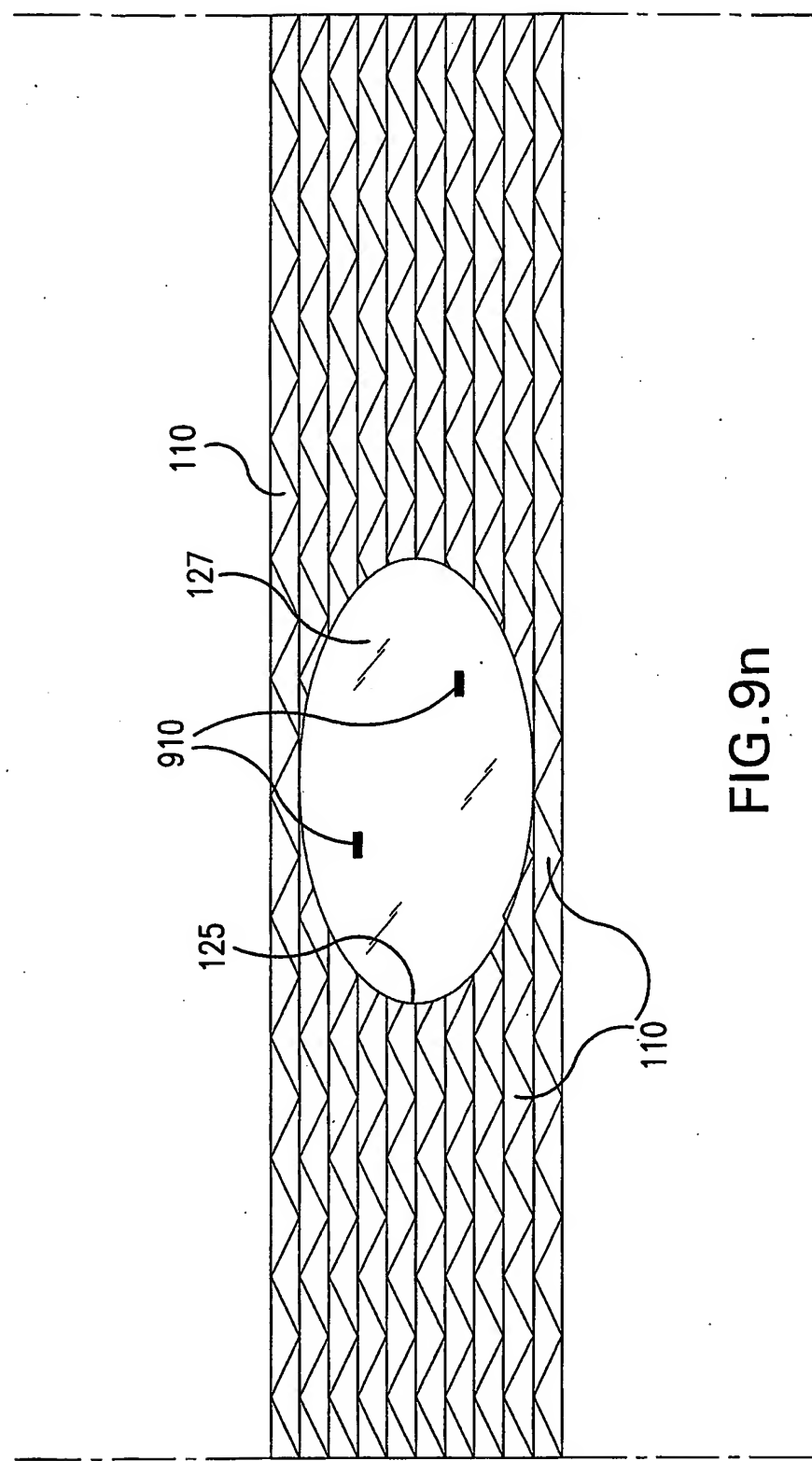


FIG.9n

26/26

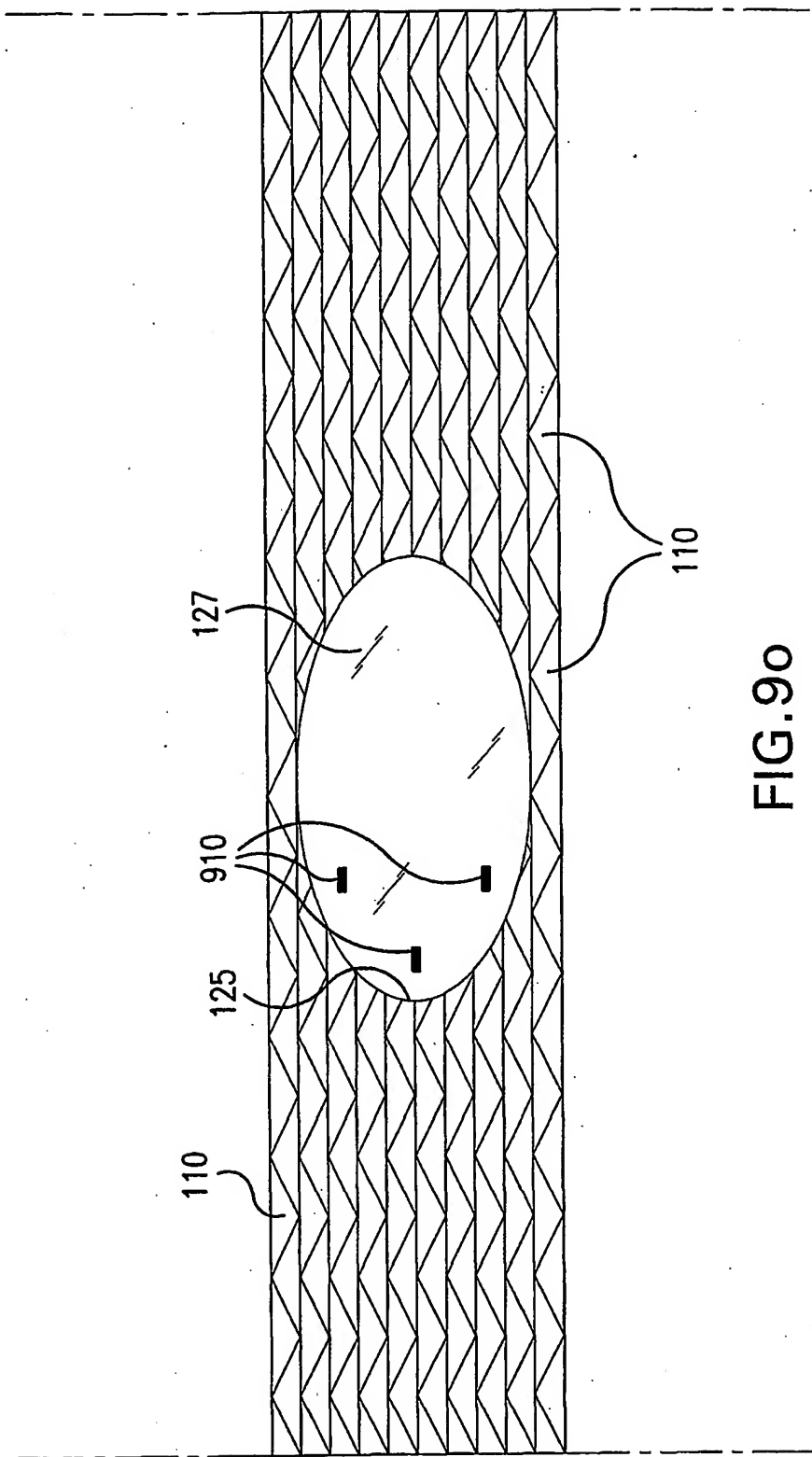


FIG. 90